

## 多軸応力下における岩石の破壊に関する一考察

京都大学工学部 正員 赤井 哲一

京都大学工学部 正員 山本 和夫

京都大学大学院 学生員 森 寛昭

1. 序 モルタル、岩石などの常圧で脆性を示す材料の破壊に関する多くの破壊理論が唱えられてきたが、これらを2つに大別すると、破壊が中間主応力に影響を受けないとする仮説と、受けるという仮説とに分類できる。前者は Tresca や Mohr-Coulomb らによって唱えられた理論とか、micro crack の統計的な取扱いから展開した Griffith の破壊理論であり、後者は von Mises, Nadaï, Johansen らの破壊理論などである。前者の場合、破壊時の応力状態は最大・最小主応力方向を軸とする平面内に一本の直線（または曲線）として表示できることに対するし、後者の場合、組合せ応力を三次元の応力空間内にプロットして破壊包絡面を規定するのであるが、一般には正八面体平面またはその傾斜した平面内に表示せねばならない。実験結果が中間主応力の影響を受けているか否かについては、簡単に見分けられるものではなく、種々の座標上にデータをプロットして統合的に検討を加え、はじめて中間主応力の影響を見出せるものである。ここでは一边 5.5 cm 立方のモルタル供試体（表-1 参照）を用いた三軸圧縮試験（供試体数 150 個）を行なった結果について中間主応力の強度に及ぼす影響と、Johansen の唱えた軽重率について

水セメント比 % = 60%	セメント砂比 % = 50%
養生：水中養生 ( $20^\circ \pm 2^\circ C$ )	材令：4週 28 日
練り混ぜ：電動式モルタルミキサー	

表-1.

て考察を加えた。この実験は岩石の破壊に関する研究の一環であり、真の岩石（和泉砂岩）の実験結果については講演時に述べる。

負荷能力	上下軸 200, 100, 50, 20, 10 kN 水平軸 100, 50, 25, 10 kN
負荷方式	油圧駆動対向シリンダー
負荷速度	0 ~ 20 mm/min
圧盤寸法	正方形一辺 20, 10, 5 cm

表-2.

2. 三軸試験機と試験方法 本試験機は岩石、コンクリートなどの高強度の材料の力学的性質を調べる目的で製作されたもので、円筒形供試体を用いる一般的な軸対称三軸圧縮試験機とは異なり、立方体供試体を用いて各軸方向にそれぞれ任意の圧力を加えることができる試験機である。したがって  $\sigma_2 = \sigma_3$  の状態で一定に保ったまま  $\sigma_1$  を増加させて破壊させることが可能となるし、 $\sigma_1 : \sigma_2 : \sigma_3$  を一定に保ちながら材料を破壊させることもできる。試験機の性能は表-2 のとおりである。本実験では、応力空間内に破壊包絡面を見つけねばならないので、種々の  $\sigma_3$  レベルに対して中間主応力  $\sigma_2$  を変化させて破壊時の  $\sigma_1$  を測定した。図中に示す V-3-3, V-6-3, … などは供試体に  $P_1 (P_1 = \sigma_3 \div 100 \text{ kg/cm}^2) = 3000 \text{ kg}$ ,  $P_2 = 3000 \text{ kg}, 6000 \text{ kg}, \dots$  を載荷した状態で  $\sigma_1$  を増加させて破壊させたものである。実験にあたっては、供試体と圧盤との間の摩擦力を少なくするために、減摩剤（片面にシリコングリースを塗った厚さ 0.23 mm のラバー）を使用した。その時の摩擦係数  $\mu = 0.01 \sim 0.02$  であり減摩剤を用いない場合は  $\mu = 0.5$  であった。

3. 実験結果および考察 実験結果を三次元の応力空間にプロットする前に  $\sigma_3 = \text{一定}$  の面内にプロットしたのが図-1 である。図において  $0, 0, \sigma_3, \sigma_4$  はそれぞれ  $\sigma_3/\sigma_c$  が 0, 0.4, 0.8, 1.2, 1.6 の面と Space diagonal とが交わった点である。比較のため  $\sigma_3/\sigma_c = 0$  の面と

応力空間内に表示された von Mises, Mohr-Coulomb, Tresca の破壊包絡曲面との交線を図に示してある。図-2はデータを Rendulic の面上にプロットしたものであり、この平面で切断された破壊包絡線は Space diagonal 上の一束から出る2つの直線として表わされる。Rendulic の面を Space diagonal を軸として回転させたとき、破壊包絡曲面の断面がすべて直線になることは図-3を見ればわかる。すなはち図-4で図示したθの値が一定である束を結ぶ線がすべて直線となり、1束に会するからである。つぎに正八面体平面上での破壊包絡線は図-4に示すように Mohr-Coulomb の破壊規準より少しふくらんだ形となる。Space diagonal を含む平面上の破壊包絡線が直線であるから、このふくらみが中間主応力による強度増加があることわかる。強度に反比例する中間主応力の影響度を調べるために、Johansen が導いた中間主応力軽重率 $\alpha$ を 0.20, 0.30, 0.40, と変えた場合の  $\tau/\sigma_c$  ~  $\sigma_c/\sigma_c$  表示を行なったところ、 $\alpha=0.30$ の場合データは一本の直線として表わせた(図-5参照)。中間主応力によって最大主応力の変化した場合  $\tau/\sigma_c$  は  $(2+\alpha^2)/2$  の勾配で変動するが、その直線は  $-(\frac{\alpha^2}{2}(\sigma_c/\sigma_c) + \frac{1}{2})$  だけ  $\sigma_c/\sigma_c$  方向に平行移動する(図-5中 a (Z) 参照)。

したがって  $\alpha$  の値を適当に選ぶことにによってそれらのデータを  $\tau/\sigma_c = f(\sigma_c/\sigma_c)$  として表わせる。この結論として言えることは、強度は中間主応力の影響をわずかに受け、この中間主応力軽重率 $\alpha=0.30$ とした場合、破壊規準は  $\tau/\sigma_c$  と  $\sigma_c/\sigma_c$  の直線関係式として外さず中の(3)式 $\tau/\sigma_c = \frac{\sigma_1 + \sigma_3 - 2\sigma_2}{2(\sigma_1 - \sigma_3)}$  として表わせることとなる。

1) M.T.Hvorslev:  
Proc. ASCE Research Conf. Shear Strength  
of Cohesive Soils,  
1960, P.253.

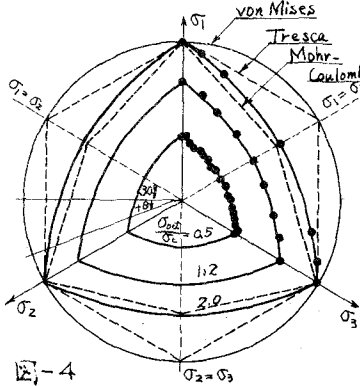


図-4

